

NGU-rapport nr. 85.160

Naturlige forgiftningsfelter i
Sunndal og Neset kommuner
Møre og Romsdal

Geokjemiske undersøkelser 1984-85



Norges geologiske undersøkelse

Leiv Eirikssons vei 39, Postboks 3006, 7001 Trondheim - Tlf. (07) 92 16 11
Oslokontor, Drammensveien 230, Oslo 2 - Tlf. (02) 55 31 65

| | | |
|--|--|--|
| Rapport nr. 85.160 | ISSN 0800-3416 | Åpen/ Forrørt |
| Tittel: Naturlige forgiftningsfelter i Sunndal og Nesset kommuner, Møre og Romsdal. | | |
| Forfatter: Tormod Henningsen og Bjørn Bølviken | Oppdragsgiver: NGU | |
| Fylke: Møre og Romsdal | Kommune: Sunndal, Nesset | |
| Kartbladnavn (M. 1:250 000) NP 31.32.7 Ålesund | Kartbladnr. og -navn (M. 1:50 000) 1320-2 Eresfjord 1420-3 Sunndalsøra | |
| Forekomstens navn og koordinater: Kvandalssæter 602E, 510N | Sidetal: 32 Kartbilag: 4 | Pris: 70,- |
| Feltarbeid utført: Juli 1984 | Rapportdato: 01.08.1985 | Prosjektnr.: 1808 Prosjektleder: B. Bølviken |
| Sammendrag: <p>Under kvartærgeologisk kartlegging sommeren 1983 i området ved Romsdalsskaret ble det observert flere større og mindre flekker med særegen artsattig vegetasjon. En jordprøve og en vegetasjonsprøve fra et av feltene viste høyt Al-innhold, men normalverdier for de andre elementer det ble analysert på. Ved befaring ved Kvandalssætra 1984 ble det fastslått at alle feltene der viser tegn på naturlig forgiftning. Forurensning fra industri kan ikke være årsak. Jordprøver fra feltene hadde 3.3% syreløselig Al i tørrstoffet og pH 5.3 mot normal verdier henholdsvis 1.5% og 5.0. Vegetasjonsprøver viste 11% Al i tørrstoff. Ingen av elementene Ag, Al, As, B, Ba, Be, Bi, Ca, Cd, Ce, Co, Cr, Cu, Fe, Ga, Ge, In, K, La, Li, Mg, Mn, Mo, Na, Ni, P, Pb, Sb, Sc, Sn, Sr, Th, Ti, U, V, W, Zn og Zr gir spesielt høye verdier. Forgiftningsfeltene kan indikere forekomster av utnyttbare mineraliseringer. De har stor vitenskapelig interesse og kan også ha betydning i forbindelse med sur nedbør-undersøkelser. Videre undersøkelser av forgiftningsfeltene er foreslått.</p> | | |
| Emneord | Geokjemi Analysedata Granitt-gneiss Al-forgiftning | Romeplante Jordprøver Vegetasjonsprøver Fagrappo |

INNHOLD

| | side |
|-------------------------------------|------|
| INNLEDNING | 4 |
| BERGGRUNNSGEOLOGI OG KVARTÆRGEOLOGI | 5 |
| BESKRIVELSE AV FORGIFTNINGSFELTENE | 5 |
| METODER | 7 |
| RESULTATER | 8 |
| KONKLUSJON | 9 |
| VIDERE UNDERSØKELSER | 10 |
| LITTERATURLISTE | 11 |

TEKST-ILLUSTRASJONER, farvefoto av forgiftningsfelter, side 6 og 7.
TEKST-TABELL, side 9.

VEDLEGG

1. Analyseresultater for 2 prøver tatt 1983.
2. Beskrivelse av prøver tatt 1984.
3. Syreløselige elementer i prøver tatt 1984.
4. pH-bestemmelse i jordprøver.
5. % aske i jord og vegetasjon.

KART, bakerst i rapporten

- 85.160-1. Nøkkelkart M=1:1 mill.
- 85.160-2. Lokalisering av forgiftningsfelter 1:50 000.
- 85.160-3. Berggrunnsgeologi.
- 85.160-4. Kvartærgeologi.

INNLEDNING

Under kvartærgeologisk kartlegging på kartbladet Sunndalsøra i M=1:50 000 fant T. Henningsen i 1983 fem felter med død, artsfattig og særegen vegetasjon. Henningsen fikk mistanke om at feltene kunne skyldes naturlig forgiftning, fordi de ligger i tilknytning til grunnvannsfremspring og kildehorisonter. En jordprøve og en moseprøve fra et av feltene ble analysert på syreløselige sporelementer. Analyseresultatene (Vedlegg 1) viser normale innhold for alle elementene unntatt aluminium, som er høyt både i jordprøven og vegetasjonsprøven (henholdsvis 2.35% og 31.34% Al i asken). Avstand og fremherskende vindretning gjør det helt usansynlig at det høye aluminiumsinnholdet i prøvene skriver seg fra aluminiumsverket på Sunndalsøra. Høyst sannsynlig er Al-verdiene naturlige. For lokalisering av feltene se Fig. 85.160-1 og 85.160-2 bak i rapporten.

Naturlig tungmetallforgiftning av jordsmonn og vegetasjon i Norge er tidligere beskrevet i publikasjoner av Låg, Hvatum og Bølviken (1970), Låg og Bølviken (1974) og Bølviken og Låg (1976 og 1977). Et felt ved Raitevarre i Karasjok ble undersøkt særskilt, bl.a. ved hjelp av fjernanalyse (Bølviken et al. 1977, Kjærnes og Kristiansen, 1977, Kristiansen 1981, 1982 og 1983, Ottesen, 1979 a og b, 1983). Staw (1984 a og b), har senere påvist tilsvarende forekomster andre steder i Finnmark.

I alle de tidligere beskrevne forekomstene av naturlig forgiftning er et eller flere tungmetaller og/eller surhetsgraden høy i jordprøvene fra feltene. Forgiftningsfeltene på kartbladet Sunndalsøra skiller seg fra de andre forgiftningsfeltene i Norge ved at høye verdier bare er påvist for Al. Det er derfor ønskelig å undersøke om det kan være andre elementer med giftvirkning enn de det er analysert på hittil.

Dersom høyt aluminiumsinnhold alene kan føre til forgiftning av vegetasjon, har dette adskillig vitenskapelig interesse, og kanskje også praktisk betydning i forbindelse med ressursleting og sur nedbør undersøkelser.

Sommeren 1984 foretok B. Bølviken, T. Henningsen og J. Låg en befaring på fire av de påviste forgiftningsfeltene på Møre. Denne befaringen bekreftet at dette er naturlige forgiftningsfelter. Det ble samlet inn prøver av jordsmønster og vegetasjon til analyse. Denne foreløbige rapporten dokumenterer de data som er oppnådd til nå, og oppsummerer resultatarene av de kjemiske undersøkelsene. Vi regner med at når materialet etter feltsesongen 1985 foreligger, vil det bli utarbeidet en publikasjon i samarbeid med professor Låg.

BERGGRUNNSGEOLOGI OG KVARTÆRGEOLOGI

Det foreligger ikke noe detaljert kart over berggrunnsgeologien fra området. I følge A. Krill (pers. medd. 1985) består bergartene innen denne delen av Møre og Romsdal hovedsakelig av båndgneisser som tilhører grunnfjellet (Fig. 85.160-3). Et unntak er en smal vestlig utløper av amfibolitt og granat-glimmerskifer av kaledonsk alder fra Trondheimsfeltet i øst som når ned til Eikedsalsvannet.

De kvartære avsetningene består av tykt og sammenhengende morenedekke. I flere bekkenedskjæringer er det eksempler på at tykkelsen er opp mot 5 m (Fig. 85.160-3).

BESKRIVELSE AV FORGIFTNINGSFELTENE

De forgiftningsfeltene som hittil er observert (se Fig. 85.160-2 og fotografier på side 6 og 7), har en størrelse på ca. 20 - 500 m² og ligger 600 - 700 m.o.h. Feltene synes å ligge langs et belte fra Varghaugen (koordinater 633 558) til Kvandalen (koordinater 602 504).

I terrenget skiller forgiftningsfeltene seg ut fra normalområder ved en artsfattig vegetasjonstype. Normalvegetasjonen i området er dominert av vanlige arter som bjørk, vier, grasarter og urter. På forgiftningsfeltene er de fleste av artene fra normalvegetasjonen fraværende. I stedet forekommer spesielle moser, romeplanten, bjønnskjegg og av og til

noe smyle, myrull, blåtopp og tettegras. Mye av vegetasjonen er syklig eller død.

I feltene er det ofte et karakteristisk hvitt belegg på stein og vegetasjon. Øverst i feltene er det alltid et grunnvannsutspring.



Fotografi 1. Naturlig forgiftningsfelt ved merket turiststi ovenfor Kvandalssæter, Nesset kommune, Møre og Romsdal.



Fotografi 2. Naturlig forgiftningsfelt ved merket turiststi ovenfor Kvandalssæter, Nesset kommune, Møre og Romsdal.

METODER

Prøvetaking

Humusholdige jordprøver fra 2-5 cm dyp og vegetasjonsprøver, vesentlig mose, ble samlet inn fra forgiftningsfelt og tilstøtende områder, se vedlegg 2.

Analysering

Både jordprøver og vegetasjonsprøver ble tørket ved ca. 50°C og deretter forasket ca. 20 timer ved 430°C. Asken ble veid. 1 g av asken ble behandlet med 7N HNO₃ 3 timer ved 110°C. Etter fortynning og sentrifugering ble løsningene analysert på 28 elementer med plasmaspektrometer. Råverdier er angitt med basis aske. Enkelte analyseverdier er omregnet til basis tørrstoff.

Noen prøver av hvit belegg på steiner ble analysert kvalitativt med optisk spektrografi og røntgenfluorescence.

Surhetsgraden i jordprøver ble bestemt med pH-meter i oppslemminger i vann, jord/vannforhold 1:2.5.

RESULTATER

Analyseresultatene (VEDLEGG 3) viser normale verdier for syreløselig Ag, B, Ba, Be, Ca, Cd, Ce, Co, Cr, Cu, K, La, Li, Mg, Mn, Mo, Na, Ni, P, Pb, Sc, Sr, Ti, og V.

Ved de kvalitative spektrografiske analyser av hvit belegg ble ingen av følgende elementer påvist: Ag, As, B, Be, Bi, Co, Ga, Ge, In, Li, Mo, Ni, Sb, Sn, Th, U og W (VEDLEGG 5).

Surhetsgraden i jordprøver varierer mellom 4.7 og 5.5 (VEDLEGG 4), som er normalt.

Det eneste element som opptrer i anomalie konsentrasjoner er Al. En oversikt over gjennomsnittlig Al-innhold er gitt i TABELL 1, nedenfor.

Tabell 1. GJENNOMSNITTLIG pH OG INNHOLD AV ASKE OG ALUMINIUM I PRØVER FRA FORGIFTNINGSFELT VED KVANDALSSÆTER, NESSET KOMMUNE, MØRE OG ROMSDAL. BAKGRUNNSPRØVER FRA SUNNDALEN. BASIS TØRRSTOFF. N: ANTALL PRØVER.

| | N | pH | %aske | %Al |
|---------------------------------------|---|-----|-------|------|
| Jordprøver i kant av forgiftningsfelt | 5 | 5.3 | 47.2 | 3.3 |
| Vegetasjon fra forgiftet felt | 7 | | 45.8 | 11.0 |
| Jordprøver 2-5 cm dyp, Sunndalen | 6 | 5.0 | 60.3 | 1.5 |

Prøver som inngår i gjennomsnittene (se vedlegg 2): 5004, 5005, 5006, 5007, 5008, 5009; 5013, 5014, 5017, 5018, 5019, 5021, 5022; 5020, 5023, 5025, 5026, 5027.

KONKLUSJON

1. Flekker med artsfattig vegetasjon funnet 1983 bedømmes å være forekomster av naturlig forgiftning, som ikke har sammenheng med aluminiumsindustrien på Sunndalsøra.
2. Det eneste element som hittil er funnet i så høy konsentrasjon at det kan tenkes å ha giftvirkning, er aluminium. Det bør analyseres på flere elementer.
3. Forgiftningsfeltene kan indikere forekomster av utnyttbare mineraliseringer. De har stor vitenskapelig interesse, og kan også ha betydning i forbindelse med sur nedbør-undersøkelser.
4. Undersøkelsene bør fortsette og resultatene publiseres.

VIDERE UNDERSØKELSER

Undersøkelsene vil bli videreført sommeren 1985. Følgende arbeid er planlagt: Tolkning av flybilder i stereomodell og plotting av alle kjente og mulige nye forgiftningsfelt på kart. Hvert felt vil bli oppsøkt og prøvetatt på nytt. Det vil bli tatt 1 vannprøve, 1 vegetasjonsprøve og 1 prøve av uorganisk materiale i hvert forgiftningsfelt. I tillegg vil vannets temperatur og pH bli målt i felt.

For å ha referansematerialer vil det også bli tatt tilsvarende prøver i normalområdene utenfor hvert forgiftningsfelt. De innsamlede prøvene vil bli analysert med rutinemetoder vinteren 1985-86. Sammenblandede representative prøver planlegges analysert med flere metoder på så mange elementer som mulig. I tillegg vil A. Krill gjøre en mere detaljert berggrunnskartlegging i det aktuelle området.

LITTERATURLISTE

Bølviken, B. og Låg, J. 1976: Naturlig tungmetallforgiftning av jordsmønster. *Naturen*, 100, nr.1, p.11-16.

Bølviken, B. og Låg, J. 1977: Natural Heavy-Metal Poisoning of Soils and Vegetation: An Exploration Tool in Glaciated Terrain. *Transactions/Sections B of the Institution of Mining and Metallurgy*, Vol. 86, p.B173-180., Discussion Vol. 85, p. 152-155.

Bølviken, B., Honey, F., Levine, S.R., Lyon, R.J.P. and Prelat, A. 1977: Detection of naturally Heavy-metal-poisoned Areas by Landsat-1 Digital Data. *Journal of Geochemical Exploration*, nr. 8, p. 457-471.

Bølviken, B. 1979: Naturlig tungmetallforgiftning av jord og vegetasjon. Abstract. *Geologinytt*, nr. 12, p. 7.

Kjærnes, P.A. og Kristiansen, J.N. 1977: Geobotanisk studium på forgiftningsfelter i Raitevarre, Karasjok. NGU-rapport nr. 1570 A.

Kristiansen, J.N. 1978: Tungmetaller i vegetasjon og jord på naturlige forgiftningsfelter og i normalområder. Noai'datjåkka - Rai'tevarri, Karasjok, Finnmark. NGU-rapport nr. 1570/C.

Kristiansen, J.N. 1981: Vegetasjonsklassifisering, fjernanalyse og naturlig tungmetallforgiftning. 1. Vegetasjon- og miljøkjemi, Raitevarre, Karasjok, Finnmark. NGU-rapport nr. 1570/F.

Kristiansen, J.N. 1981: Vegetasjonsklassifisering, fjernanalyse og naturlig tungmetallforgiftning. Vegetasjon- og miljøkjemi, Finnmark. Populærversjon. NGU-rapport nr. 1570/G1.

Låg, J., Hvatum, O.Ø. and Bølviken, B. 1970: An Occurrence of Naturally lead-poisoned Soil at Kastad near Gjøvik, Norway. NGU nr. 266, p. 141-159.

Låg, J. and Bølviken, B. 1974: Some naturally heavy-metal poisoned areas of interest in prospecting, soil chemistry, and geomedicine. NGU nr. 304, p. 631-648.

Ottesen, D. 1979a: Vegetasjonsklassifisering, fjernanalyse og naturlig tungmetallforgiftning. Korrigering for lyssvekningseffekt på multispektrale flybilder. NGU-rapport nr. 1570/D.

Ottesen, D. 1979b: Klassifisering av data fra multispektrale flybilder, Raitevarre, Karasjok, I. Tilrettelegging og plan for videre arbeid. NGU-rapport nr. 1570/E.

Ottesen, D. 1983: Spektrale signaturer i Landsat-1 data og multispektrale flybilder over et kobberforgiftet felt. NGU-rapport nr. 1570/G2.

Staw, J. 1984: En forekomst av naturlig tungmetallforgiftet jord. Store Lerresfjord, Alta, Finnmark. NGU-rapport nr. 84.060.

Staw, J. 1984: Finnmarksprogrammet 1983. En forekomst av forgiftet jordsmønster, Ai'bmevarri, Karasjok, Finnmark. NGU-rapport nr. 84.090.

Ødegård, M. 1981: The Use of Inductively Coupled Argon Plasma (ICAP) Atomic Emission Spectroscopy in the Analysis of Stream Sediments. Journal of Geochemical Exploration, 14, p. 119-130.

Norges Geologiske Undersøkelse

OPPDAG NR 146/83

DATO 15.NOV 1983

Intern

A N A L Y S E R A P P O R T

fra

NGU - KJEMISK AVD.

Til NGU LØSMASSEAVD. V/B. FOLLESTAD

På vedlagte EDB-utskrift

følger resultatene av utført
analyseoppdrag

KJEMISK AVDELING

Gjert Faye
seksjonsleder

Geirge F. Faye

146/

ANALYSE-RAPPORT.

Norges Geologiske Undersøkelse.

Prosjektnr:

Oppdragsnr: 146/83

Oppdragsgiver: NGU LØSMASSEAVD. V/B.FOLLESTAD

Instrument: PLASMA

| | Si PPM | Al PPM | Fe PPM | Ti PPM | Mg PPM | Ca PPM | Na PPM | K PPM | Mn PPM | P PPM |
|--------------|-----------|-----------|-----------|-----------|-----------|-----------|-----------|-----------|-----------|-----------|
| Nedre grense | 10.0 | 5.0 | .6 | .3 | 5.0 | 5.0 | 2.0 | 25.0 | .3 | 10.0 |
| | Cu PPM | Zn PPM | Pb PPM | Ni PPM | Co PPM | V PPM | Mo PPM | Cd PPM | Cr PPM | Ba PPM |
| Nedre grense | .2 | .5 | 5.0 | 2.0 | 1.0 | .5 | 1.0 | 1.0 | 2.0 | .3 |
| | Sr PPM | Zr PPM | Ag PPM | B PPM | Be PPM | Li PPM | Sc PPM | Ce PPM | La PPM | |
| Nedre grense | .1 | .3 | .5 | .3 | .1 | .2 | .2 | 3.0 | 1.0 | |

Ovennevnte grenser er deteksjonsgrenser målt på analyseprogrammets 'blank', multiplisert med 100 (tynningsfaktor for de fleste prøvetyper). For avvikende tynningsfaktor omregnes grensene. For prøver med høyere bakgrunnsnivå vil grensene kunne bli betydelig høyere enn de angitte.

Disse data er lagret i % på NGU's data-anlegg på filen A14683.OPPGIVER.KAACANAL
Prøvenummer kan leses som heltall, halvtrejustert fra kolonne 7 med 8. kolonne

Format : (A8,29(A1,F12.8)

Prosjektnr:

Veg.

Oppdragsnr: 146/83

BEK.S., ORG.S.

| | | |
|----|------------|-----------|
| Si | 199.3 ppm | 419.2 ppm |
| Al | 2.35 % | 31.34 % |
| Fe | .62 % | .53 % |
| Ti | 854.0 ppm | 494.1 ppm |
| Mg | 772.2 ppm | 735.8 ppm |
| Ca | 717.2 ppm | 500.1 ppm |
| Na | 115.8 ppm | 281.1 ppm |
| K | 355.7 ppm | .19 % |
| Mn | 68.6 ppm | 194.8 ppm |
| P | .254.9 ppm | 786.9 ppm |
| Cu | 20.2 ppm | 113.0 ppm |
| Zn | 1.5 ppm | 45.6 ppm |
| Pb | 8.9 ppm | 79.7 ppm |
| Ni | < 2.0 ppm | 18.5 ppm |
| Co | 2.9 ppm | < 8.0 ppm |
| V | 17.4 ppm | 15.4 ppm |
| Mo | 2.2 ppm | 17.2 ppm |
| Cd | < 1.0 ppm | < 8.0 ppm |
| Cr | 8.7 ppm | 33.8 ppm |
| Ba | 9.2 ppm | 33.4 ppm |
| Sr | 4.3 ppm | 11.5 ppm |
| Zr | 2.4 ppm | 11.0 ppm |
| Ag | .6 ppm | 6.0 ppm |
| B | .6 ppm | 93.0 ppm |
| Be | .2 ppm | 2.0 ppm |
| Li | 1.6 ppm | 1.9 ppm |
| Sc | 2.6 ppm | 14.6 ppm |
| Ce | 86.0 ppm | 541.8 ppm |
| La | 31.1 ppm | 227.0 ppm |

Org 5 - De oppgitte tallene er på asken
 Ask % - d1.87

N.G.U.

Foraskning.

Prosjekt nr. - - - - - Follestad

Kort nr. - -

Oppdrag nr. 146/83 Art. Org-mair-Temp. 430° Tid. 20t Basis - - - - - Navn Pk Dato 28/10-83

VEDLEGG 2

Prosjekt 1808

Diverse forgiftningsundersøkelser

Prøvetaking 1984 J.L. og B.B.

Feltnotater av Bjørn Bølviken

1808/5001 Tverrfjellet, Hjerkinn 18.06.84. Jordprøve i kant av forgiftet felt rett V for gruveanlegget.

5002 Sunndalsøra 19.06.84. Humus nedenfor blotning 0.2 km N for bebyggelse, ca. 15 m fra veien. Urter har brune bladspisser.

5003 Sunndalsøra 19.06.84. Ca. 50 m N for Al-verket. Humusprøve nedenfor fjellblotning og ovenfor parkmessig beplantning som sturer. Buskfuru har brune nåler. Gran er lysegrønn til brun i nålene.

5004 Sunndalsøra 19.06.84. I km N for Al-verket, ca. 30 m Ø for veien. Humusprøve. Brune bladspisser på ulike arter.

5005 Sunndalen 19.06.84. 3 km S/Ø for Sunndalsøra på S-V-siden av dalen, ved foten av fjell. Humusprøve direkte på blotning.

5006 Sunndalen 19.06.84. Ca. 3.5 km S/Ø for Sunndalsøra på S-V-siden av dalen. Løvskog med gras og urterik skogmark. Humusprøve. 50 m nedenfor er det et gammelt skytefelt.

5007 Sunndalen 19.06.84. Ca 5 km S/Ø for Sunndalsøra på S/V-siden av elven. Grastufser av blåtopp på bart fjell. Humusprøve. Blåtopp tåler mye, vokser inntil Falconbridge, der nesten alt må gi opp. Blåtopp kjennes ved at den ikke har leddknuter på stået. Denne lokalitet ligger ved foten av fjellmassiv, der røyk fra Sunndalsøra kan tenkes å treffe.

5008 Sunndalen 19.06.84. Humusprøve 200 m N/V for prøve 5007.

5009 Sunndalen 19.06.84. Humusprøve på N/Ø-siden av dalen i tett hasselskog. Ca. 1 km fra museum. Folk på gården hesjer høy.

Eieren ga tillatelse til innkjøring. Avstand fra Sunndalsøra ca. 4 km. Bjørnebær vokser i fronten av hasselskogen.

5010 - 5029 Prøver fra forgiftningsfelter ca. 2 km sørvest for Kvanndalssæter, Eikesdalen, ved stien over til Jordal. Adkomst til Kvanndalssæter: Riksvei 62 fra Sunndalsøra til Eidsvåg, videre riksvei 660 til Eresfjord ca. 16 km fra Eidsvåg. Ta til venstre før veien går i bru over Eira og kjør etter veiviser til Rekreasjonshjem (Lien ?).): ta til venstre ca. 2 km etter å ha tatt av fra riksvei 660.

Forgiftningsfeltene er karakterisert ved mosevegetasjon (delvis død), hvitt og noen ganger rødt belegg på steiner i vannsig. Ved siden av de sterkeste forgiftningssymptomene vokser romeplante (*Nartecium Osifragum*) + Bjørnnskjegg + en og annen smyle + noen andre arter f.eks. myrull, blåtopp og tettegras.

Koordinater: 460 8E
6951 1N
km 100 m

Nesset kommune

Befaring sammen med J. Låg og Tormod Henningsen.

1808/5010 Kvanndalssætra, Eresfjord Eikesdalen 20.06.84. Humus fra oppkomme, høyeste punkt vi var. Tvilsomt om dette er forgiftning. Mose på steiner er muligens *Plagio Killia*.

5011 Kvanndalssætra, Eresfjord 20.06.84. Skorper på mose litt ovenfor prøve 5010. Usikkert om dette er forgiftning.

5012 Kvanndalssætra, Eresfjord 20.06.84. Skorper på mose like nedenfor prøve 5010. Usikkert om dette er forgiftning.

- 5013 Kvanndalssætra, Eresfjord 20.06.84. Skorper på mose i vannsiget. Ca. 10 m nedenfor prøve 5012. Tydelig lyst belegg på mosen.
- 5014 Kvanndalssætra, Eresfjord 20.06.84. Forgiftet felt 10 m ovenfor det største og mest utpregede forgiftningsfeltet. Skorper med hvitt belegg på mose.
- 5015 Kvanndalssætra, Eresfjord 20.06.84. Hovedforgiftningsfelt ved turistvei langs storbekken. Steinprøver med hvitt belegg.
- 5016 Kvanndalssætra, Eresfjord 20.06.84. Hovedforgiftningsfelt. Steinprøver med rødt belegg.
- 5017 Kvanndalssætra, Eresfjord 20.06.84. Hovedforgiftningsfelt. Død mose med skorper. Mosen flyter nedover bekkefaret.
- 5018 Kvanndalssætra, Eresfjord 20.06.84. Som prøve 5017, men 10 m lengre nede.
- 5019 Kvanndalssætra, Eresfjord 20.06.84. Som prøvene 5017 og 5018, men fast moseteppe.
- 5020 Kvanndalssætra, Eresfjord 20.06.84. Humusprøve under romeplante. Hovedforgiftningsfelt, på siden der forgiftningen ikke er så sterk.
- 5021 Kvanndalssætra, Eresfjord 20.06.84. Forgiftningsfeltet som sees først fra stien etter Kvanndalssætra fra der stien krysser Storbekken.
- Feltet er ca. 100 m langt og 1-10 m bredt. Romeplante, bjørnnskjegg og noen få andre planter på siden av den sterkeste forgiftning. Prøve 5021 er død mose midt i øvre del av feltet.
- 5022 Kvanndalssætra, Eresfjord 20.06.84. Som prøve 5021, men 10 m nedenfor. Det er hvitt belegg på mosen.

- 5023 Som prøve 5021, men 30-40 m nedenfor. Det er hvitt belegg på mosen.
- 5024 Kvanndalssætra, Eresfjord 20.06.84. Forgiftningsfelt beskrevet under 5021. Humusprøve tatt under bjønnskjedd til side for 5023.
- 5025 Humusprøve tatt under romeplante til side for 5022.
- 5026 Humusprøve tatt under bjønnskjegg ved prøve 5025.
- 5027 Humusprøve i kanten av forgiftningsfelt 5021. Det vokser bjønnskjegg og romeplante der prøven er tatt.
- 5028 Kvanndalssætra, Eresfjord 20.06.84. Forgiftningsfelt 5021. Steiner med hvitt belegg der forgiftningen er sterk.
- 5029 Kvanndalssætra, Eresfjord 20.06.84. Forgiftningsfelt 5021. Steinprøve med rødt belegg. Prøvene er tatt der forgiftningen er sterk.

Norges Geologiske Undersøkelse

OPPDRA格 NR 89/84

DATO 16. OCT 1984

Intern

A N A L Y S E R A P P O R T

fra

NGU - KJEMISK AVD.

Til NGU GEOKJ. AVD., V/B, BØLVIKEN

på vedlagte EDB-utskrift

folger resultatene av utført
analyseoppdrag

KJEMISK AVDELING

Gjert Fager
sekretær

Jørgen Fager

ANALYSE-RAPPORT.

pH 4,7 - 5,8 i blikkstål
5010-5027

Norges Geologiske Undersøkelse.

Prosjektnr: 1808.21

Oppdragsnr: 89/84

Oppdragsgiver: NGU GEOKJ.AVD. V/B, BØLVIKEN

Instrument: PLASMA

| | Si ppm | Al ppm | Fe ppm | Ti ppm | Mg ppm | Ca ppm | Na ppm | K ppm | Mn ppm | P ppm |
|--------------|-----------|-----------|-----------|-----------|-----------|-----------|-----------|-----------|-----------|-----------|
| Nedre grense | 10.0 | 5.0 | .6 | .3 | 5.0 | 5.0 | 2.0 | 25.0 | .3 | 10.0 |
| | Cu ppm | Zn ppm | Pb ppm | Ni ppm | Ca ppm | V ppm | Mo ppm | Cd ppm | Cr ppm | Ba ppm |
| Nedre grense | .2 | .5 | 5.0 | 2.0 | 1.0 | .5 | 1.0 | 1.0 | 2.0 | .3 |
| | Sr ppm | Zn ppm | Ag ppm | B ppm | Be ppm | Li ppm | Sc ppm | Ce ppm | La ppm | |
| Nedre grense | .1 | .3 | .5 | .3 | .1 | .2 | .2 | 3.0 | 1.0 | |

Ovennevnte grenser er deteksjonsgrenser målt på analyseprogrammets 'blank', multiplisert med 100 (tynningsfaktor for de fleste prøvetyper). For avvikende tynningsfaktor omregnes grensene. For prøver med høyere bakgrunnsnivå vil grensene kunne bli betydelig høyere enn de angitte.

Disse data er lagret i % på NGU's data-anlegg på filen A8984.BRK.KJAN
Prøvenavnet kan leses som heltall, høyrejustert fra kolonne 7 med 8. kolonne til 9. markering. Eksempelvis blir 672 øft 007A4 PRO QV

Format : (A8,29(A1,F12.8)

Side 2

16.OCT 1984

Prosjektnr: 1808.21

Oppdragsnr: 89/84

| | 5001 | 5002 | 5003 | 5004 | 5005 | 5006 | 5007 | 5008 | 5009 | 5010 |
|----|-----------|-----------|-----------|-----------|-----------|-----------|-----------|-----------|-----------|-----------|
| Si | 234.6 ppm | 230.0 ppm | 280.4 ppm | 241.0 ppm | 218.8 ppm | 242.8 ppm | 245.2 ppm | 224.0 ppm | 245.0 ppm | 218.6 ppm |
| Al | 1.03 % | 4.83 % | 7.04 % | 3.13 % | 2.19 % | 2.55 % | 3.95 % | 1.35 % | 2.18 % | 4.22 % |
| Fe | 21.70 % | 2.23 % | 1.59 % | 3.49 % | 1.78 % | 3.18 % | 2.56 % | 1.63 % | 2.65 % | 1.36 % |
| Ti | 967.0 ppm | .19 % | .13 % | .24 % | .14 % | .27 % | .20 % | .13 % | .19 % | .15 % |
| Mg | .59 % | .87 % | .57 % | .90 % | .72 % | 1.02 % | 1.12 % | .56 % | 1.07 % | .42 % |
| Ca | .13 % | .86 % | .90 % | .52 % | .77 % | .67 % | .74 % | .56 % | 1.48 % | .40 % |
| Na | 226.0 ppm | 581.8 ppm | 556.2 ppm | 335.6 ppm | 374.8 ppm | 475.8 ppm | 554.2 ppm | 323.2 ppm | 546.2 ppm | 373.6 ppm |
| K | .19 % | .34 % | .33 % | .37 % | .18 % | .24 % | .30 % | .20 % | .37 % | .36 % |
| Mn | 109.9 ppm | 461.0 ppm | 386.2 ppm | .16 % | 343.6 ppm | 562.0 ppm | 464.4 ppm | 282.4 ppm | .11 % | 300.0 ppm |
| P | .11 % | .11 % | 971.0 ppm | .11 % | .17 % | .21 % | .15 % | 947.8 ppm | .22 % | .11 % |
| Cu | .10 % | 42.7 ppm | 54.3 ppm | 47.2 ppm | 49.5 ppm | 36.9 ppm | 57.5 ppm | 23.1 ppm | 49.1 ppm | 49.5 ppm |
| Zn | 163.6 ppm | 101.4 ppm | 146.8 ppm | 60.6 ppm | 62.1 ppm | 61.4 ppm | 69.4 ppm | 39.8 ppm | 117.0 ppm | 44.6 ppm |
| Pb | 76.9 ppm | 68.7 ppm | 69.7 ppm | <10.0 ppm | 119.7 ppm | 121.5 ppm | 138.2 ppm | <10.0 ppm | 26.7 ppm | <10.0 ppm |
| Ni | 15.1 ppm | 33.3 ppm | 42.4 ppm | 22.9 ppm | 33.9 ppm | 34.5 ppm | 59.5 ppm | 14.4 ppm | 38.4 ppm | 10.3 ppm |
| Co | 12.2 ppm | 13.4 ppm | 10.9 ppm | 33.1 ppm | 10.9 ppm | 17.1 ppm | 18.8 ppm | 11.3 ppm | 19.8 ppm | 9.0 ppm |
| V | 49.2 ppm | 77.4 ppm | 63.5 ppm | 82.8 ppm | 48.9 ppm | 79.9 ppm | 92.5 ppm | 40.8 ppm | 72.0 ppm | 30.8 ppm |
| Mo | 2.4 ppm | < 2.0 ppm | < 2.0 ppm | 2.9 ppm | 7.1 ppm | 7.7 ppm | 5.6 ppm | 6.9 ppm | < 2.0 ppm | 2.2 ppm |
| Cd | < 2.0 ppm |
| Cr | 40.2 ppm | 19.9 ppm | 19.3 ppm | 26.0 ppm | 55.0 ppm | 83.4 ppm | 70.7 ppm | 17.9 ppm | 21.6 ppm | 16.1 ppm |
| Ba | 25.2 ppm | 87.3 ppm | 66.2 ppm | 68.7 ppm | 68.7 ppm | 75.1 ppm | 142.8 ppm | 54.1 ppm | 271.0 ppm | 55.5 ppm |
| Sr | 9.8 ppm | 66.4 ppm | 49.7 ppm | 49.8 ppm | 45.1 ppm | 44.7 ppm | 52.1 ppm | 41.0 ppm | 109.2 ppm | 7.7 ppm |
| Zr | 7.0 ppm | 3.9 ppm | 4.0 ppm | 4.1 ppm | 4.4 ppm | 3.4 ppm | 3.4 ppm | 2.6 ppm | 2.6 ppm | 3.2 ppm |
| Ag | 14.3 ppm | 1.5 ppm | < 1.0 ppm | 2.3 ppm | 1.6 ppm | 2.1 ppm | 1.7 ppm | 1.7 ppm | 2.3 ppm | 3.6 ppm |
| B | < .6 ppm | 2.4 ppm | 4.0 ppm | < .6 ppm | 4.7 ppm | < .6 ppm | 7.9 ppm | 11.3 ppm | 8.0 ppm | 3.5 ppm |
| Be | < .2 ppm | .3 ppm | .7 ppm | .4 ppm | < .2 ppm | < .2 ppm | < .2 ppm | < .2 ppm | < .2 ppm | < .2 ppm |
| Li | 7.4 ppm | 11.0 ppm | 11.2 ppm | 14.4 ppm | 12.4 ppm | 11.7 ppm | 12.3 ppm | 6.8 ppm | 11.1 ppm | 7.2 ppm |
| Sc | 6.6 ppm | 4.3 ppm | 2.3 ppm | 4.0 ppm | 3.7 ppm | 4.9 ppm | 4.7 ppm | 3.3 ppm | 3.4 ppm | 4.9 ppm |
| Ce | 15.9 ppm | 59.0 ppm | 72.3 ppm | 74.4 ppm | 137.2 ppm | 112.2 ppm | 87.7 ppm | 59.5 ppm | 51.0 ppm | 343.8 ppm |
| La | 75.5 ppm | 29.9 ppm | 41.1 ppm | 40.0 ppm | 68.4 ppm | 43.8 ppm | 48.8 ppm | 38.2 ppm | 21.7 ppm | 82.5 ppm |

Prosjektnr: 1808.21

Oppdragsnr: 89/84

| | 5011 | 5012 | 5013 | 5014 | 5017 | 5018 | 5019 | 5020 | 5021 | 5022 |
|----|-----------|-----------|-----------|-----------|-----------|-----------|-----------|-----------|-----------|-----------|
| Si | 280.6 ppm | 210.2 ppm | 256.4 ppm | 245.8 ppm | 321.6 ppm | 260.0 ppm | 258.4 ppm | 335.6 ppm | 76.9 ppm | 90.1 ppm |
| Al | 23.01 % | 19.12 % | 32.18 % | 24.64 % | 26.14 % | 31.24 % | 13.08 % | 6.98 % | 18.82 % | 26.12 % |
| Fe | 1.03 % | .75 % | .77 % | .74 % | .61 % | .65 % | .70 % | .81 % | 1.25 % | .71 % |
| Ti | .10 % | 928.8 ppm | 740.7 ppm | 789.1 ppm | 591.0 ppm | 605.5 ppm | 793.8 ppm | 805.2 ppm | 712.4 ppm | 562.2 ppm |
| Mg | .26 % | .20 % | .16 % | .24 % | .19 % | .21 % | .23 % | .29 % | .22 % | .20 % |
| Ca | .18 % | .25 % | .15 % | .23 % | .16 % | .17 % | .22 % | .20 % | .14 % | .11 % |
| Na | 345.9 ppm | 267.8 ppm | 193.6 ppm | 200.3 ppm | 165.0 ppm | 177.7 ppm | 223.0 ppm | 238.6 ppm | 194.7 ppm | 145.6 ppm |
| K | .24 % | .23 % | .12 % | .19 % | .15 % | .18 % | .15 % | .21 % | .16 % | .20 % |
| Mn | 152.3 ppm | 146.1 ppm | 238.6 ppm | 711.8 ppm | 608.4 ppm | 596.3 ppm | 923.6 ppm | 508.6 ppm | .15 % | .16 % |
| P | 883.2 ppm | 535.0 ppm | 476.2 ppm | 567.6 ppm | 824.8 ppm | 579.7 ppm | 505.2 ppm | 809.2 ppm | 664.0 ppm | 308.4 ppm |
| Cu | 85.5 ppm | 58.0 ppm | 100.9 ppm | 96.9 ppm | 92.4 ppm | 123.7 ppm | 81.5 ppm | 62.5 ppm | 91.1 ppm | 118.9 ppm |
| Zn | 30.2 ppm | 24.2 ppm | 25.7 ppm | 26.8 ppm | 19.0 ppm | 24.1 ppm | 26.2 ppm | 28.5 ppm | 26.2 ppm | 25.8 ppm |
| Pb | <40.0 ppm | <10.0 ppm | <40.0 ppm | <40.0 ppm | <40.0 ppm | <40.0 ppm | <10.0 ppm | <10.0 ppm | <10.0 ppm | <40.0 ppm |
| Ni | <16.0 ppm | 5.5 ppm | 26.7 ppm | <16.0 ppm | 19.8 ppm | 17.0 ppm | 7.4 ppm | 11.3 ppm | 9.6 ppm | 18.4 ppm |
| Co | <8.0 ppm | 4.9 ppm | <8.0 ppm | 11.6 ppm | <8.0 ppm | <8.0 ppm | 15.2 ppm | 14.0 ppm | 19.9 ppm | 10.2 ppm |
| V | 28.2 ppm | 22.2 ppm | 19.6 ppm | 29.0 ppm | 24.0 ppm | 29.4 ppm | 22.3 ppm | 21.9 ppm | 29.3 ppm | 25.8 ppm |
| Mo | <8.0 ppm | <2.0 ppm | <8.0 ppm | <8.0 ppm | <8.0 ppm | <8.0 ppm | <2.0 ppm | <2.0 ppm | <2.0 ppm | <8.0 ppm |
| Cd | <8.0 ppm | <2.0 ppm | <8.0 ppm | <8.0 ppm | <8.0 ppm | <8.0 ppm | <2.0 ppm | <2.0 ppm | <2.0 ppm | <8.0 ppm |
| Cr | 27.0 ppm | 22.0 ppm | 33.0 ppm | 38.8 ppm | 42.8 ppm | 52.1 ppm | 26.8 ppm | 18.8 ppm | 27.9 ppm | 38.2 ppm |
| Ba | 30.4 ppm | 21.9 ppm | 25.1 ppm | 35.3 ppm | 25.7 ppm | 30.2 ppm | 26.5 ppm | 36.5 ppm | 30.3 ppm | 25.6 ppm |
| Sr | 8.2 ppm | 7.6 ppm | 8.7 ppm | 6.6 ppm | 5.9 ppm | 8.6 ppm | 9.8 ppm | 11.0 ppm | 12.0 ppm | 6.2 ppm |
| Zr | 8.0 ppm | 6.6 ppm | 9.5 ppm | 7.1 ppm | 6.1 ppm | 8.7 ppm | 5.7 ppm | 3.9 ppm | 4.6 ppm | 5.8 ppm |
| Ag | 5.0 ppm | 4.9 ppm | <4.0 ppm | 6.2 ppm | 9.4 ppm | 8.6 ppm | 3.3 ppm | 2.1 ppm | 3.3 ppm | 10.3 ppm |
| B | 25.8 ppm | 6.5 ppm | 12.0 ppm | 8.4 ppm | 10.5 ppm | 10.3 ppm | 12.6 ppm | 5.3 ppm | 11.0 ppm | 8.1 ppm |
| Be | <.8 ppm | .8 ppm | 2.6 ppm | 2.6 ppm | 1.4 ppm | 3.0 ppm | 2.7 ppm | .7 ppm | 1.9 ppm | 2.6 ppm |
| Li | 5.8 ppm | 3.4 ppm | 4.1 ppm | 5.4 ppm | 4.4 ppm | 4.7 ppm | 5.3 ppm | 5.8 ppm | 4.9 ppm | 4.7 ppm |
| Sc | 10.2 ppm | 7.5 ppm | 13.1 ppm | 13.4 ppm | 9.4 ppm | 12.9 ppm | 7.5 ppm | 5.7 ppm | 6.4 ppm | 8.9 ppm |
| Ce | 430.6 ppm | 258.8 ppm | 743.4 ppm | 471.0 ppm | 416.2 ppm | 657.5 ppm | 569.2 ppm | 482.8 ppm | 555.2 ppm | 697.5 ppm |
| La | 210.3 ppm | 158.1 ppm | 457.6 ppm | 163.6 ppm | 144.8 ppm | 362.1 ppm | 341.8 ppm | 273.2 ppm | 366.4 ppm | 266.1 ppm |

Prosjektnr: 1808.21

Oppdragsnr: 89/84

| | 5023 | 5024 | 5025 | 5026 | 5027 | A | B | C |
|----|-----------|-----------|-----------|-----------|-----------|-----------|-----------|-----------|
| Si | 310.0 ppm | 161.1 ppm | 186.2 ppm | 169.6 ppm | 215.2 ppm | 118.3 ppm | 48.5 ppm | 206.7 ppm |
| Al | 8.45 % | 1.55 % | 7.80 % | 3.42 % | 9.37 % | 5.22 % | 6.30 % | 10.98 % |
| Fe | .80 % | .77 % | 1.07 % | 1.38 % | 2.11 % | 636.9 ppm | .11 % | .99 % |
| Ti | 935.0 ppm | 939.2 ppm | 944.2 ppm | 797.4 ppm | 873.4 ppm | 40.1 ppm | 60.3 ppm | 816.3 ppm |
| Mg | .22 % | .32 % | .33 % | .21 % | .24 % | 380.4 ppm | 275.8 ppm | .40 % |
| Ca | .26 % | .24 % | .20 % | .19 % | .20 % | 630.9 ppm | 349.6 ppm | 1.31 % |
| Na | 244.4 ppm | 334.4 ppm | 248.4 ppm | 239.8 ppm | 255.4 ppm | 109.2 ppm | 58.4 ppm | 391.5 ppm |
| K | .18 % | .19 % | .25 % | .11 % | .22 % | 418.0 ppm | 322.4 ppm | .35 % |
| Mn | .17 % | 148.5 ppm | | .13 % | 159.5 ppm | 994.4 ppm | 80.3 ppm | 275.0 ppm |
| P | 536.4 ppm | 881.8 ppm | 706.8 ppm | 759.0 ppm | 963.0 ppm | 318.9 ppm | 101.0 ppm | .55 % |
| Cu | 75.1 ppm | 18.7 ppm | 62.6 ppm | 45.0 ppm | 93.6 ppm | 29.1 ppm | 31.4 ppm | 93.2 ppm |
| Zn | 32.3 ppm | 28.4 ppm | 28.1 ppm | 24.5 ppm | 37.8 ppm | 17.6 ppm | 18.9 ppm | 43.5 ppm |
| Pb | <10.0 ppm | 14.6 ppm | <10.0 ppm | <10.0 ppm | 26.3 ppm | < 8.6 ppm | < 4.9 ppm | <20.8 ppm |
| Ni | 7.0 ppm | 9.7 ppm | 8.7 ppm | 11.0 ppm | 9.7 ppm | 4.0 ppm | 2.3 ppm | 16.9 ppm |
| Co | 19.0 ppm | 5.7 ppm | 23.1 ppm | 5.5 ppm | 16.9 ppm | < 1.7 ppm | 1.1 ppm | 6.2 ppm |
| V | 22.8 ppm | 20.2 ppm | 29.0 ppm | 31.6 ppm | 40.6 ppm | 4.4 ppm | 7.8 ppm | 38.3 ppm |
| Mo | < 2.0 ppm | < 2.0 ppm | 2.1 ppm | 2.1 ppm | 2.0 ppm | < 1.7 ppm | < 1.0 ppm | < 4.2 ppm |
| Cd | < 2.0 ppm | < 1.7 ppm | < 1.0 ppm | < 4.2 ppm |
| Cr | 16.8 ppm | 10.1 ppm | 22.1 ppm | 10.4 ppm | 20.9 ppm | 13.7 ppm | 11.3 ppm | 23.1 ppm |
| Ba | 35.3 ppm | 53.4 ppm | 36.2 ppm | 29.0 ppm | 32.5 ppm | 9.6 ppm | 6.3 ppm | 128.9 ppm |
| Sr | 12.7 ppm | 28.8 ppm | 12.7 ppm | 14.9 ppm | 19.6 ppm | 2.5 ppm | 1.3 ppm | 317.6 ppm |
| Zr | 3.9 ppm | 2.1 ppm | 3.7 ppm | 2.6 ppm | 4.1 ppm | 1.9 ppm | 1.6 ppm | 4.0 ppm |
| Ag | 2.4 ppm | 1.1 ppm | 2.3 ppm | 1.9 ppm | 10.4 ppm | 1.7 ppm | 1.2 ppm | 3.3 ppm |
| B | 5.2 ppm | 6.3 ppm | 6.8 ppm | 3.5 ppm | 6.4 ppm | 2.2 ppm | 1.3 ppm | 6.5 ppm |
| Be | 2.7 ppm | < .2 ppm | .9 ppm | .6 ppm | .5 ppm | .3 ppm | .8 ppm | 1.0 ppm |
| Li | 6.0 ppm | 3.6 ppm | 6.0 ppm | 3.3 ppm | 4.5 ppm | 1.7 ppm | 1.3 ppm | 14.5 ppm |
| Sc | 4.6 ppm | 2.8 ppm | 5.0 ppm | 3.0 ppm | 5.1 ppm | 1.6 ppm | 1.8 ppm | 3.8 ppm |
| Ce | 693.2 ppm | 61.1 ppm | 538.6 ppm | 299.0 ppm | 832.0 ppm | 62.9 ppm | 56.7 ppm | 231.3 ppm |
| La | 463.8 ppm | 42.8 ppm | 266.8 ppm | 239.0 ppm | 419.6 ppm | 52.2 ppm | 33.0 ppm | 125.3 ppm |

VEDLEGG 4

Prosjekt nr. 1808

Myr/humusprøver

| Prøve nr. | pH | |
|-----------|-----------|--------------------------|
| 5001 | 3.5 | |
| 02 | 5.7 | |
| 03 | 6.4 | Sunndalen |
| 04 | 5.5 | |
| 05 | 5.1 | Gjennomsnitt 5.4 |
| 06 | 4.6 | |
| 07 | 5.0 | |
| 08 | 4.7 | |
| 09 | 5.6 | |
| 10 | 5.6 | |
| 11 | 5.2 | |
| 12 | 5.6 - 5.6 | |
| 13 | 5.5 | |
| 14 | | |
| 15 | | |
| 16 | | |
| 17 | 6.1 mose | NB! 2 prøver mrk. 5012 = |
| 18 | 6.0 " | Eikesdalen, forgiftning |
| 19 | 6.2 " | |
| 20 | 5.0 humus | Gjennomsnitt 5.5 |
| 21 | 5.5 mose | |
| 22 | 5.8 " | |
| 23 | 5.6 " | |
| 24 | 4.7 humus | |
| 25 | 5.2 " | |
| 26 | 5.0 " | |
| 27 | 5.5 " | |
| 28 | | |

VEDLEGG 5

Oppdrag 1808

Sunndalen - Eikesdalen

Avskrapet belegg på steiner i forgiftningsfeltet er analysert kvalitativt med optisk spektrografi og røntgenfluorescenc.

Analytikere: Magne Ødegård og Tove Sivertsen.

| T.S. Påvist | T.S. Ikke påvist | M.Ø. Ikke påvist |
|----------------|---------------------|---------------------|
| Si | Sn | Ga |
| Al | W | Ge |
| | Mo | Tl |
| | U | In |
| | Th | Ag |
| | | Pb |
| | | As |
| | | Sb |
| | | Bi |
| | | Mo |
| | | Co |
| | | Ni |
| | | B |
| | | Be |
| | | Li |

N.G.U.

Foraskning.

Prosjekt nr. 1808.21

Ø VEDLEGG 5

Kort nr. 1

Oppdrag nr. 89/84 Art. Jord + mose Temp. 430°C Tid. 20t Basis - - - Navn B.I.V Dato 1/05
Gr. a.

| Prøve nr. | Skål | Brutto | Tara | Innv. | Forasket | Glødetap | % Gl. tap | % Aske | Merknad |
|-----------|------|---------|------|---------|----------|----------|-----------|--------|---------|
| 5001 | 101 | 54.730 | | 10.803 | 50.690 | 4.042 | 7.35 | 6.616 | 6.79% |
| 5002 | 102 | 54.449 | | 10.900 | 51.801 | 2.628 | 24.11 | 25.89 | 8.08% |
| 5003 | 103 | 54.107 | | 10.393 | 52.031 | 2.036 | 19.59 | 8.041 | 8.36% |
| 5004 | 104 | 54.753 | | 10.894 | 53.125 | 1.628 | 14.94 | 8.506 | 9.09% |
| 5005 | 105 | 54.072 | | 10.2210 | 50.055 | 4.023 | 39.34 | 60.066 | 6.199 |
| 5006 | 106 | 53.850 | | 10.448 | 48.705 | 5.144 | 49.93 | 50.77 | 5.32% |
| 5007 | 107 | 53.597 | | 10.000 | 48.1630 | 4.967 | 49.167 | 50.33 | 5.04% |
| 5008 | 108 | 52.1631 | | 10.166 | 49.175 | 3.456 | 34.00 | 60.000 | 6.70% |

N.G.U.

Foraskning.

Prosjekt nr. 1808.21.

Kort nr. 1

Oppdrag nr. 89/84 Art. Jord + Mose Temp. 430°C Tid. 20t Basis - - - Navn B.I.V Dato 1/05
Gr. a.

| Prøve nr. | Skål | Brutto | Tara | Innv. | Forasket | Glødetap | % Gl. tap | % Aske | Merknad |
|-----------|------|--------|------|--------|----------|----------|-----------|--------|---------|
| 5009 | 109 | 52.215 | | 10.227 | 49.155 | 5.190 | 50.75 | 49.25 | 5.04% |
| 5010 | 110 | 52.848 | | 10.048 | 48.961 | 3.887 | 38.68 | 61.32 | 6.00% |
| 5011 | 119 | 51.053 | | 10.197 | 43.530 | 7.525 | 73.80 | 26.20 | 7.27% |
| 5012 | 121 | 51.173 | | 10.363 | 44.576 | 6.597 | 63.16 | 36.84 | 3.86% |
| 5013 | 122 | 50.833 | | 10.179 | 44.102 | 6.731 | 60.13 | 33.85 | 3.59% |
| 5014 | 123 | 51.680 | | 10.891 | 46.164 | 5.033 | 46.21 | 53.79 | 6.00% |
| 5015 | 126 | 55.634 | | 10.803 | 49.935 | 5.699 | 52.06 | 43.34 | 5.26% |
| 5018 | 128 | 51.245 | | 10.511 | 45.490 | 5.755 | 54.75 | 45.25 | 4.90% |

N.G.U.

Forasking

2

Projekt nr. 1808.21

Kort nr.:

Oppdrag nr. 89/84 Art. Jord+ Nose Temp. 430°C Tid. Qst. Basis - - - Navn BLV Dato 05

| Prøve nr. | Skål | Brutto | Tara | Innv. | Forasket | Glødetap | % Gl. tap | % Aske | Merknad |
|-----------|------|--------|------|--------|----------|----------|-----------|--------|---------|
| 5019 | 129 | 54.288 | | 10.475 | 50.834 | 4.054 | 38% | 61.30 | 6.53% |
| 5020 | 130 | 54.747 | | 10.509 | 49.648 | 5.069 | 48.14 | 51.86 | 5.56% |
| 5021 | 131 | 49.122 | | 10.160 | 49.002 | 6.500 | 63.94 | 36.06 | 3.80% |
| 5022 | 138 | 52.692 | | 10.424 | 46.799 | 5.963 | 53.20 | 42.80 | 4.16% |
| 5023 | 139 | 49.947 | | 10.168 | 45.784 | 4.203 | 39.58 | 60.42 | 6.54% |
| 5024 | 141 | 52.527 | | 10.079 | 46.200 | 5.207 | 52.20 | 46.84 | 4.88% |
| 5025 | 142 | 53.160 | | 10.160 | 48.836 | 4.834 | 43.48 | 50.52 | 5.44% |
| 5026 | 144 | 50.085 | | 10.231 | 44.551 | 5.534 | 54.09 | 45.91 | 4.77% |

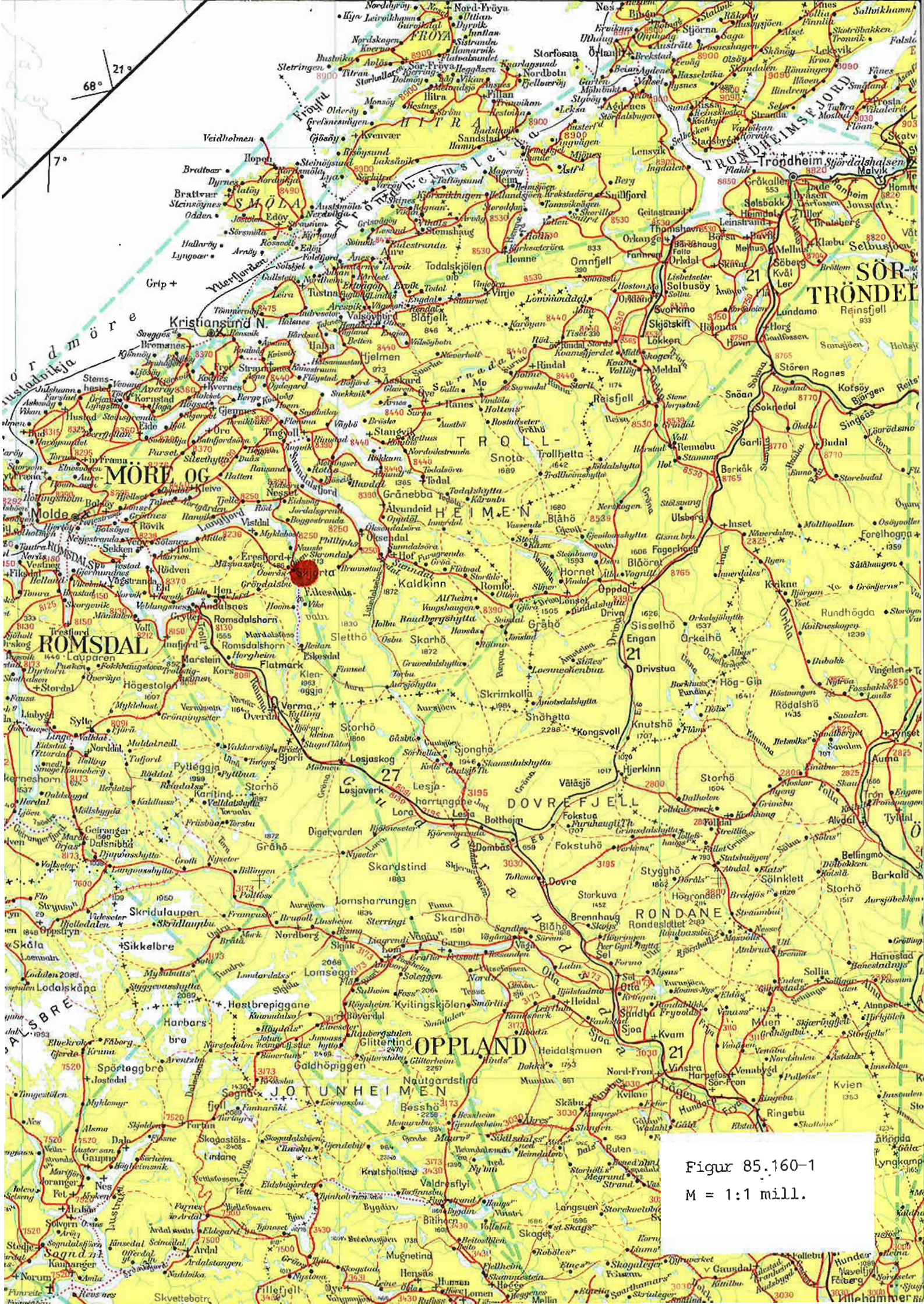
N.G.U.

Foraskning.

Projekt nr. 1808.21

Kort nr. -

Projekt nr. 1000.01 Jordt 89/81 Art. Ness Temp. 430°C Tid. Oct Basis - - - - - Navn BIV Dato 05

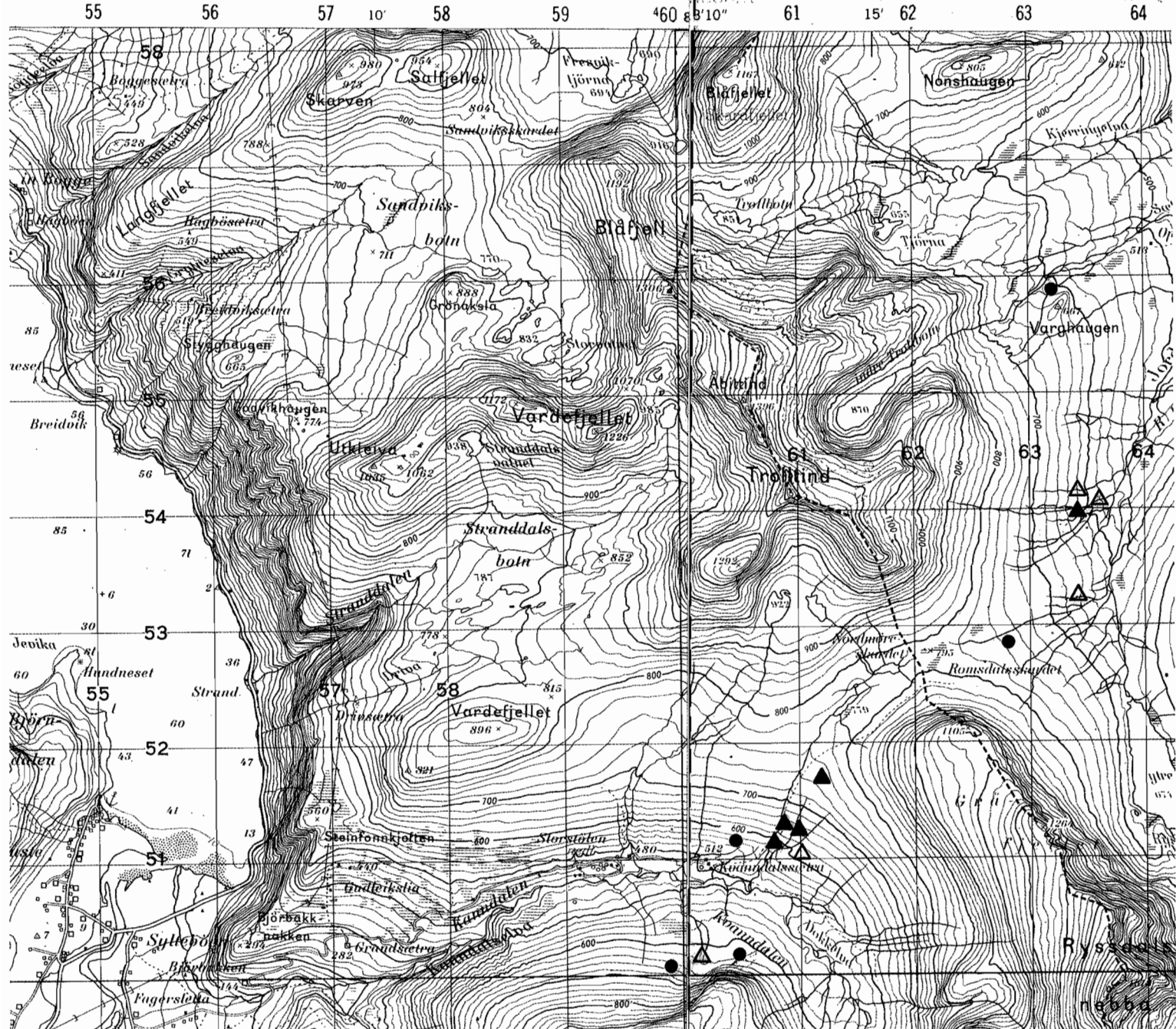


Figur 85, 160-1

M = 1:1 mill.

UTSNITT AV KARTBLAD 1320 II
ERESFJORD

UTSNITT AV KARTBLAD 1420 III
SUNNDALSØRA

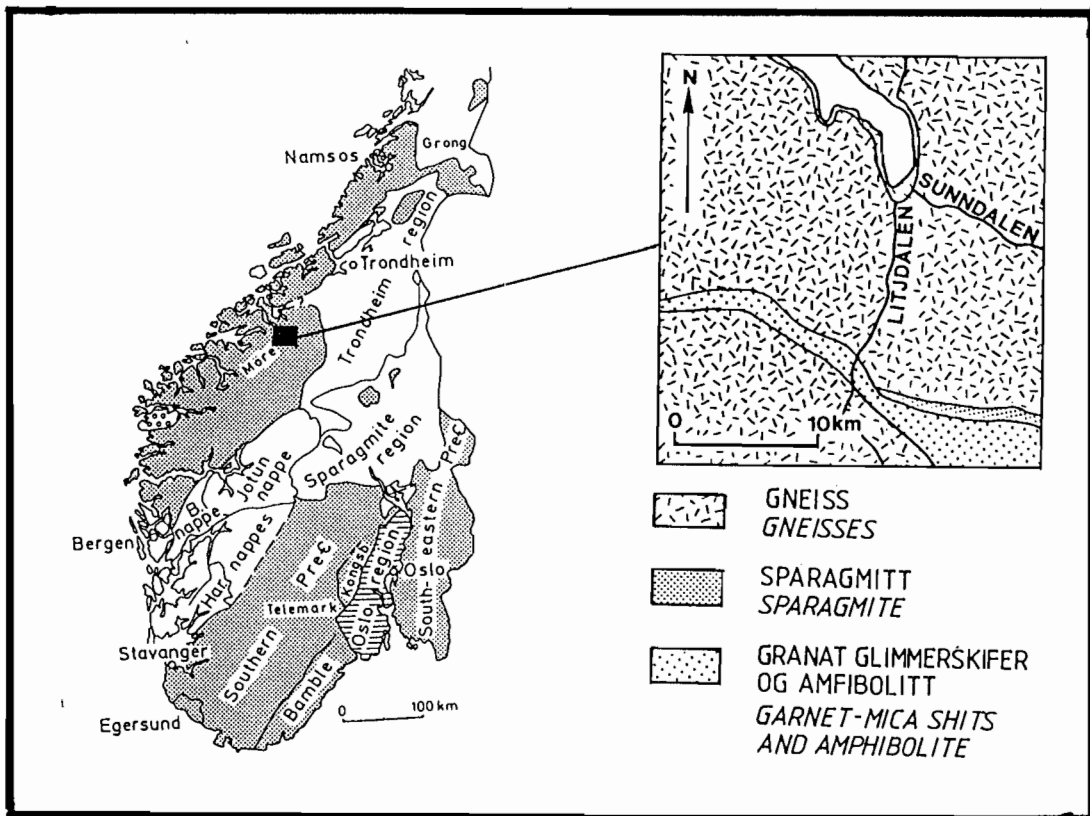


N

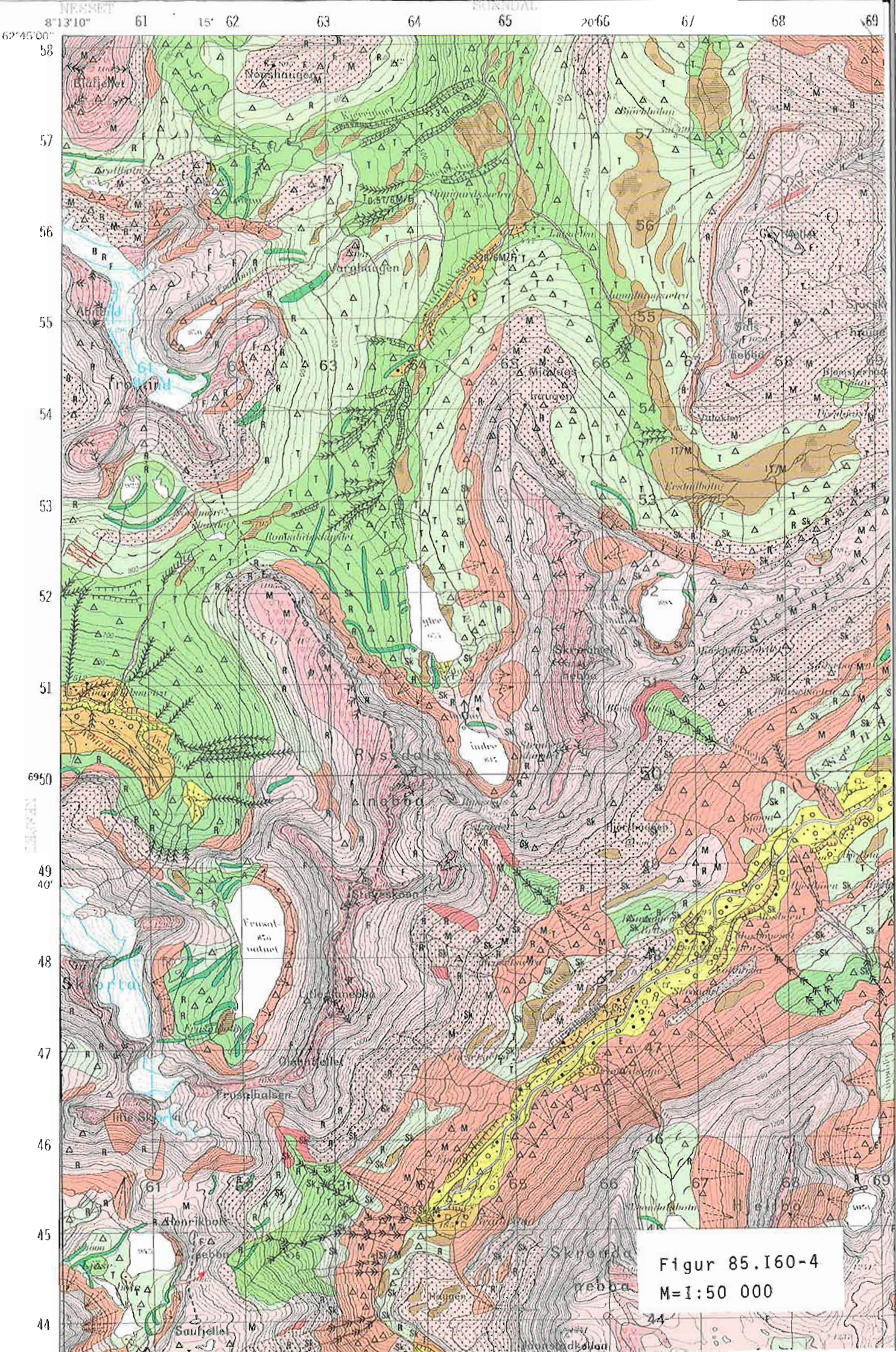
TEGNFORKLARING

- ▲ Forgiftningsfelter påvist i terrenget, prøvetatt.
- △ Forgiftningsfelter ikke prøvetatt.
- Mulig forgiftningsfelt indikert på flyfoto.

M = 1: 50 000



85.I60-3



Figur 85.I60-4

M=1:50 000

TEGNFORKLARING

Legend

LØSMASSE

Superficial deposits

| | |
|--|---|
| | MORENEMATERIALE, SAMMENHENGENDE DEKKE, STEDVIS MED STOR MEKTIGHET Till, continuous cover, locally of great thickness. |
| | MORENEMATERIALE, USAMMENHENGENDE ELLER TYNT DEKKE OVER BERGGRUNNEN Till, discontinuous or thin cover on bedrock |
| | RANDMORENE/RANDSONE Marginal moraine/Marginal zone |
| | BREELVAVSETNINGER (GLASIFLUVIALE AVSETNINGER) Glacioluvial deposits |
| | RYGGFORMET BREELVAVSETNING, DANNET I TUNNEL ELLER SPREKK I ISEN (ESKER) Esker |
| | BRESJØAVSETNINGER (GLASILAKUSTRINE AVSETNINGER) Glaciolacustrine deposits |
| | ELVE- OG BEKKEAVSETNINGER (FLUVIALE AVSETNINGER) Fluvial deposits |
| | HAV- OG FJORDAVSETNINGER, (MARINE AVSETNINGER BORTSETT FRA STRANDAVSETNINGER) Marine deposits, shore deposits not included |
| | STRANDAVSETNINGER (MARINE STRANDAVSETNINGER) Marine shore deposits |
| | FORVITRINGS MATERIALE/BLOKKHAV Weathering material/Blockfield |
| | UR (TALUS) Talus |
| | SKREDMATERIALE Scree deposits |
| | TORV- OG MYRDANNELSER (ORGANISK MATERIALE) Organic deposits |
| | HUMUSDEKKE/TYNT TORVDEKKE OVER BERGGRUNNEN Organic material/thin cover on bedrock |
| | FYLLMASSE (ANTROPOGENT MATERIALE) Anthropogenic material |

BART FJELL

Exposed bedrock

| | |
|--|---|
| | BART FJELL Exposed bedrock |
| | LITEN FJELLBLOTTNING Small exposure of bedrock |

SMÅ ELLER VANSKELIG AVGRENNSBARE AVSETNINGER I OMråDER DOMINERT AV ANDRE LØSMASSE/BART FJELL

Sporadic deposits in areas dominated by other superficial deposits or exposed bedrock

| | |
|----|--|
| M | MORENEMATERIALE Till |
| B | BREELVAVSETNINGER Glacioluvial deposits |
| Bs | BRESJØAVSETNINGER Glaciolacustrine deposits |
| E | ELVE- OG BEKKEAVSETNINGER Fluvial deposits |
| H | HAVAVSETNINGER Marine deposits |
| S | STRANDAVSETNINGER Shore deposits |
| F | FORVITRINGS MATERIALE Weathering material |
| U | UR Talus |
| T | TORV- OG MYRDANNELSER Organic deposits |
| Sk | SKREDMATERIALE Scree deposits |
| Z | FYLLMASSE Fill material |

KORNSTØRRELSE

Grain size

| | |
|--|-------------------------------------|
| | BLOKK, STØRRE ENN 256 mm Boulder |
| | STEIN, 256 mm - 64 mm Stone |
| | GRUS, 64 mm - 2 mm Gravel |
| | SAND, 2 mm - 0,063 mm Sand |
| | SILT, 0,063 mm - 0,002 mm Silt |
| | LEIR, MINDRE ENN 0,002 mm Clay |

MEKTIGHET OG LAGFØLGE

Thickness and stratigraphy

| | |
|----------|---|
| x3 | The thickness is 3 m |
| >1,5 | MEKTIGHETEN ER MER ENN 1,5 M The thickness exceeds 1,5 m |
| <1,5/L/M | DEN KARTLAGTE AVSETNING ER 1 M MEKTIG, UNDER ER DET 3 M LEIR OVER MORENEMATERIALE The thickness of the mapped deposit is 1 m, this is underlain by 3 m clay over till |
| | (M MORENEMATERIALE, B BREELVAVSETNING, Fj. FJELL) (M Till, B Glacioluvial deposit, Fj. Solid bedrock) (S1 STEIN, G GRUS, S SAND, Si SILT, L LEIR) S1 Stone, G Gravel, S Sand, Si Silt, L Clay) |
| | ISBEVEGELSESESRETNING Direction of ice movement |
| | SKURINGSSTRIPE, BEVEGELSE MOT OBSERVASJONSPUNKDET Glacial striae, movement towards the observation point |
| | KRYSSENDE SKURINGSSTRIPER, ØKENDE ANTALL HAKER MED ØKENDE RELATIV ALDER Crossing glacial striae, increasing number of ticks with increasing relative age |
| | RUNDSSVA, OBSERVASJONSPUNKT I PILSPISSEN Whalebach form, movement towards the observation point |
| | SKURINGSSTRIPER I SEKTOREN Glacial striae in the sector |
| | SKURINGSSTRIPE, BEVEGELSESESRETNING IKKE BESTEMT Glacial striae, ice-movement direction not determined |
| | DRUMLINLIGNENDE FORM Drumlin-shaped form |
| | ANDRE SYMBOLER Other symbols |
| | BREELVNEDSKJÆRING (GLASIFLUVIAL NEDSKJÆRING) Glacioluvial erosion brink |
| | SMELEVANNSLØP (GLASIFLUVIALT DRENERINGSSPOR) Glacioluvial drainage channel |
| | GJEL Canyon |
| | OVERLØP OG PASSOMRÅDE Drainage channel crossing a water-divide |
| | NEDSKJÆRING AV ELV (ELLER BREELV) Fluvial (or glacioluvial) erosion brink |
| | ELVE-/BEKKELØP Drainage channel |
| | FLOMLØP Flood channel |
| | TERRASSE Terrace |
| | VIFTEFORM Fan |
| | RAVINE/RAVINE MED AKTIV EROSJON Ravine/Ravine, active erosion |
| | STRANDLINJER FRA BREDEMT SJØ Glaciolacustrine shore-line |
| | MARIN STRANDLINJE Marine shore-line |
| | DØDISGROP Kettlehole |
| | SKJELL Shell |
| | ISKONTAKTSKRÅNING Ice-contact slope |
| | HAUGER OG RYGGER Hummocks and ridges |
| | RYGGFORM Ridge |
| | BLOKKRIK OVERFLATE High frequency of boulders at the surface |
| | STOR BLOKK (>5 m³) Large boulder |
| | TUEMARK Tussock |
| | POLYGONMARK Polygon ground |
| | KILDE/GRUNNVANNUTSLAG Spring |
| | STEINSTRIPER Stone-stripes |
| | SOLIFLUKSJONSTUNGER Solifluction lobes |
| | GRUSTAK (NEDLAGT) Gravel pit (closed) |
| | SEISMISK PROFIL (MED REF.NR.) Seismic profile (With ref.nr.) |
| | BRE Glacier |

0'00"

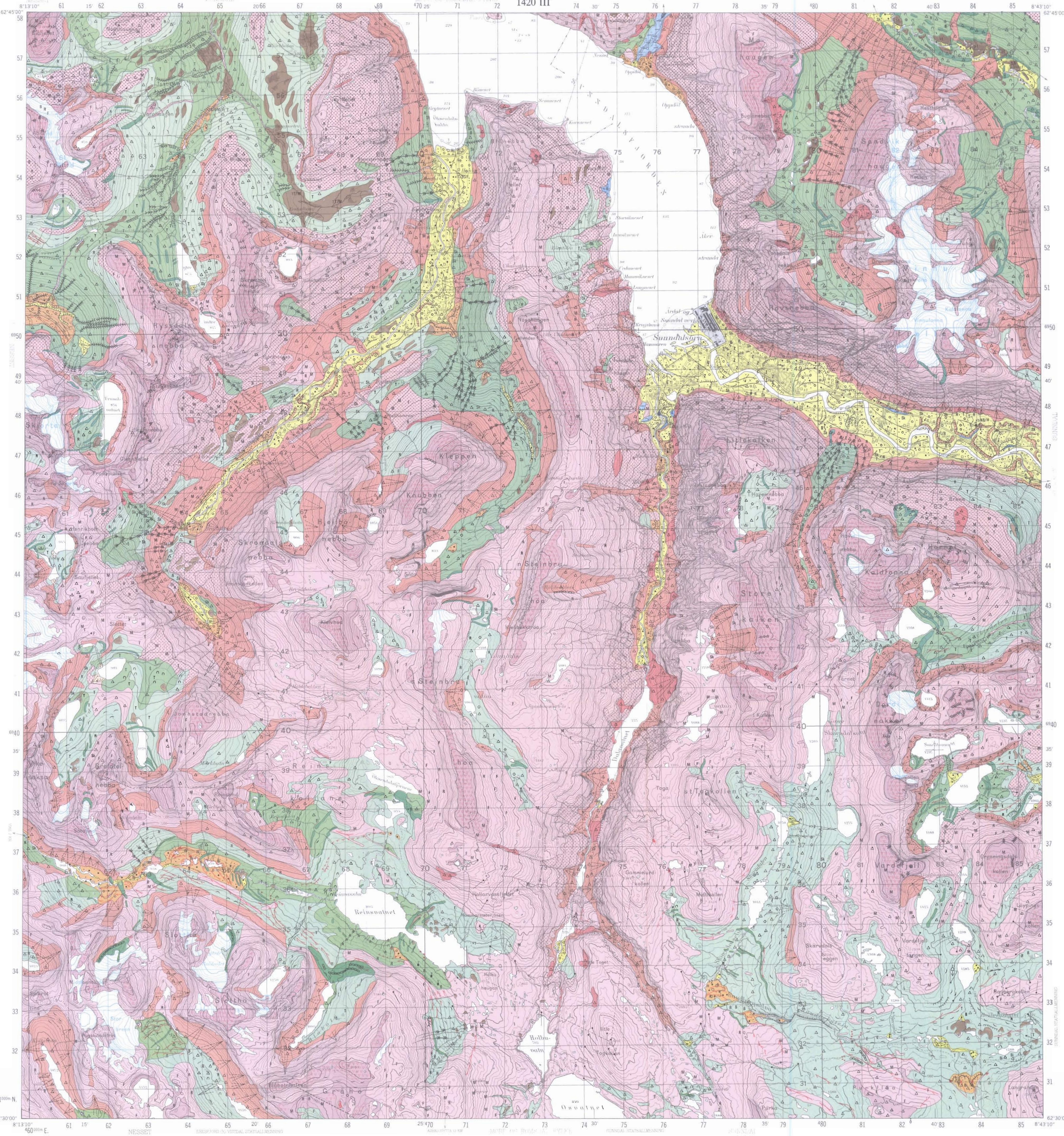


Kartlegt 1982 og 1983 av B. A. Follesød, O. Furuhaug, J. Landvik og T. Henningsen.
Prosjektleider: B. A. Follesød.

SUNNDALSØRA

KVARTÆRGEOLOGISK KART 1:50.000

NORGES GEOLGIKSE UNDERSØKELSE



TEGNFORKLARING

| Legend |
|---|
| LØSMASER Superficial deposits |
| MORENEMATERIALE, SAMMENHENGENDE DEKKE, STEDVIS MED STOR MEKTIGHET Till, continuous cover, locally of great thickness. |
| MORENEMATERIALE, SAMMENHENGENDE ELLER TYNT DEKKE OVER BERGRUNNEN Till, discontinuous or thin cover on bedrock |
| RANDMORENE/RANDSONE Marginal morenemateriale |
| BREELVAVSETNINGER (GLASIFLUVIALE AVSETNINGER) Glaciofluvial deposits |
| ELVE- OG BEKKAVSETNINGER (FLUVIALE AVSETNINGER) Fluvial deposits |
| HAV- OG FJORDAVSETNINGER, MARINE AVSETNINGER BORTSETT FRA STRANDAVSETNINGER Marine deposits, shore deposits not included |
| STRANDAVSETNINGER (MARINE STRANDAVSETNINGER) Marine stranddeposits |
| FORVITTNINGSMATERIALE/BLOKHKAV Weathering material/Blockfield |
| UR (TALUS) Talus |
| SKREDMATERIALE Scree deposits |
| TØRV- OG MYRDANNELSER (ORGANISK MATERIALE) Organic deposits |
| ORGANISK MATERIALE/TINT OVER BERGRUNNEN Organic material/thin cover on bedrock |
| FYLMAMASSER (ANTROPOGENT MATERIALE) Anthropogenic material |
| BART FJELL Exposed bedrock |
| LITEN FJELLBLOTTING Small exposure of bedrock |
| SMÅ ELLER VANSKELIG AVGRENNSBARE AVSETNINGER I OMÅRDER DOMINERET AV ANDRE LØSMASER/BART FJELL Sparsom drevslede areas dominated by other superficial deposits or exposed bedrock |
| MORENEMATERIALE Till |
| BREELVAVSETNINGER Glaciofluvial deposits |
| BREJSJØAVSETNINGER Glaciocustarine deposits |
| ELVE- OG BEKKAVSETNINGER Fluvial deposits |
| HAVAVSETNINGER Marine deposits |
| STRANDAVSETNINGER Shore deposits |
| FORVITTNINGSMATERIALE Weathering material |
| UR Talus |
| TØRV- OG MYRDANNELSER Organic deposits |
| SKREDMATERIALE Scree deposits |
| FYLMAMASSER Fill material |
| KORNSTØRRELSE Grain size |
| BLOKK, STØRRE ENN 256 mm, Boulder |
| STEIN, 256 mm - 64 mm, Stone |
| GRUS, 64 mm - 2 mm, Gravel |
| SAND, 2 mm - 0,063 mm, Sand |
| SILT, 0,063 mm - 0,002 mm, Silt |
| LEIR, MINDRE ENN 0,002 mm, Clay |
| MEKTIGHET OG LAGFØLGE Thickness and stratigraphy |
| >3 The thickness is greater than 3 m |
| >1,5 The thickness exceeds 1,5 m |
| >1,0/m Den kartlagte avsetning er 1 m mektig, under er det 3 m leir over (M MORENEMATERIALE, B BREELVAVSETNING, Fj. FJELL) (M) Morenemateriale, (B) Breelvavsetning, (Fj.) Fjell (St) Stein, (G) Gravel, (S) Sand, (Si) Silt, (L) Leir) |
| ISBEVEGELSESRETNING Direction of ice movement |
| → SKRØPINGSTRIPE, BEVEGELSE MOT OBSERVASJONSPUNKTET Glacial striae, movement towards the observation point |
| ↗ SKRØPINGSTRIPE, BEVEGELSE MOT OBSERVASJONSPUNKTET Crossing glacial striae, increasing number of ticks with increasing relative age |
| ↔ SKRØPINGSTRIPER I SEKTØREN Whaleback form, movement towards the observation point |
| ↖ SKRØPINGSTRIPE, BEVEGELSESRETNING IKKE BESTEMT Glacial striae, ice-movement direction not determined |
| → DRUMLINE, RØRFORM Drumline, rør-shaped form |
| ← ANDRE SYMBOLER Other symbols |
| → BREELVENDSJØERING (GLASIFLUVIAL NEDSKJØRING) Glaciofluvial erosion brink |
| → SMELTEVANNSSLOP (GLASIFLUVIAL DRENERINGSSPOR) Glaciofluvial drainage channel |
| → GJEL Canyon |
| → OVERLØP OG PASSOMRÅDE Drainage channel crossing a water divide |
| → NEIDSKJØRING, ELV (ELLER BREELV) Water divide/erosion brink |
| → ELVE-REKKELØP Drainage channel |
| → FLOMLØP Flood channel |
| → TERRASSE Terrace |
| → VIFTERFORM Fan |
| → RØRERØRVAINE MED AKTIV EROSION Rørerørvane, active erosion |
| → STRANOLINER FRA BREDEMUT SJØ Glaciocustarine shore-line |
| → MARIN STRANOLINJE Marine shore-line |
| → DØDISGROP Kettlehole |
| → SKJELL Slope |
| → ISKONTAKTSKJØPING Ice-contact slope |
| → HAUGER OG RYGGER Hummocks and ridges |
| → RØYGFORM Ridge |
| △ BLOKKER OVERFLATE High frequency of boulders at the surface |
| ○ STORE BLOKK (>5 m ²) Large boulder |
| △ TUEMARK Tussock |
| ○ POLYGONMARK Polygon ground |
| ♀ KILDE/GRUNNINNANSUTSLAG Spring |
| → STEINSTRIPER Ripple |
| → SOLFUKKLØSTUNGER Solfukkulation lobes |
| GRUSTAK (NEDLAGT) Gravel pit (closed) |
| 3 Seismisk profil (med ref.nr.) Seismic profile (With ref.nr.) |
| BRIE Glacier |
| Kartlagt 1982 og 1983 av B. A. Folkestad, O. Furuhug, J. Landvik og T. Henningsen. Projektleider: B. A. Folkestad. |



RUT AV UTM RUTENETT FOR REFERANSEPUNKTER

Instruction in using UTM grid for reference points

| | | | |
|---|---|--|---|
| GRID ZONE IDENTIFICATION | KARTUTRAME SAMPLE POINT | REINAVSBØ SAMPLE POINT | TO GIVE A STANDARD REFERENCE ON THIS SHEET TO MARKET 100 METERS |
| 32V | MQ | 67 | Read letters identifying 10000 meter square in which the point lies |
| 100x100 M SQUARE IDENTIFICATION | 100x100 M ROUTE | 100x100 M ROUTE | Locate first VERTICAL line to the LEFT of point, and first HORIZONTAL line to the top or bottom margin, or on the line itself. Estimate horizontal grid line to point. |
| Første rutenummer til venstre for punktet. Avlastet dekket i høyre for ruta | Første rutenummer under punktet. Avlastet dekket i øvre for ruta | Første rutenummer til venstre for punktet. Avlastet dekket i høyre for ruta | Locate first VERTICAL line to the RIGHT of point, and first HORIZONTAL line to the top or bottom margin, or on the line itself. Estimate horizontal grid line to point. |
| BETEGNELSEN | MQ6700 | MQ6700 | Første rutenummer til venstre for punktet. Avlastet dekket i høyre for ruta |
| Det er 18° til venstre punkt med lik betegnelse. Referanse til SONEBELTE gjer avlastet dekket. | MQ670058 | MQ670058 | Det er 18° til venstre punkt med lik betegnelse. Referanse til SONEBELTE gjer avlastet dekket. |
| SONEBELTE | MQ670058 | MQ670058 | SONEBELTE |
| SONEBELTE har bare 10000 meter. Bruk bare STORE til bokstaver | MQ670058 | MQ670058 | SONEBELTE har bare 10000 meter. Bruk bare STORE til bokstaver |
| SONEBELTE | MQ670058 | MQ670058 | SONEBELTE |
| SONEBELTE har bare 10000 meter. Bruk bare STORE til bokstaver | MQ670058 | MQ670058 | SONEBELTE har bare 10000 meter. Bruk bare STORE til bokstaver |
| SONEBELTE | MQ670058 | MQ670058 | SONEBELTE |
| SONEBELTE har bare 10000 meter. Bruk bare STORE til bokstaver | MQ670058 | MQ670058 | SONEBELTE har bare 10000 meter. Bruk bare STORE til bokstaver |
| SONEBELTE | MQ670058 | MQ670058 | SONEBELTE |
| SONEBELTE har bare 10000 meter. Bruk bare STORE til bokstaver | MQ670058 | MQ670058 | SONEBELTE har bare 10000 meter. Bruk bare STORE til bokstaver |
| SONEBELTE | MQ670058 | MQ670058 | SONEBELTE |
| SONEBELTE har bare 10000 meter. Bruk bare STORE til bokstaver | MQ670058 | MQ670058 | SONEBELTE har bare 10000 meter. Bruk bare STORE til bokstaver |
| SONEBELTE | MQ670058 | MQ670058 | SONEBELTE |
| SONEBELTE har bare 10000 meter. Bruk bare STORE til bokstaver | MQ670058 | MQ670058 | SONEBELTE har bare 10000 meter. Bruk bare STORE til bokstaver |
| SONEBELTE | MQ670058 | MQ670058 | SONEBELTE |
| SONEBELTE har bare 10000 meter. Bruk bare STORE til bokstaver | MQ670058 | MQ670058 | SONEBELTE har bare 10000 meter. Bruk bare STORE til bokstaver |
| SONEBELTE | MQ670058 | MQ670058 | SONEBELTE |
| SONEBELTE har bare 10000 meter. Bruk bare STORE til bokstaver | MQ670058 | MQ670058 | SONEBELTE har bare 10000 meter. Bruk bare STORE til bokstaver |
| SONEBELTE | MQ670058 | MQ670058 | SONEBELTE |
| SONEBELTE har bare 10000 meter. Bruk bare STORE til bokstaver | MQ670058 | MQ670058 | SONEBELTE har bare 10000 meter. Bruk bare STORE til bokstaver |
| SONEBELTE | MQ670058 | MQ670058 | SONEBELTE |
| SONEBELTE har bare 10000 meter. Bruk bare STORE til bokstaver | MQ670058 | MQ670058 | SONEBELTE har bare 10000 meter. Bruk bare STORE til bokstaver |
| SONEBELTE | MQ670058 | MQ670058 | SONEBELTE |
| SONEBELTE har bare 10000 meter. Bruk bare STORE til bokstaver | MQ670058 | MQ670058 | SONEBELTE har bare 10000 meter. Bruk bare STORE til bokstaver |
| SONEBELTE | MQ670058 | MQ670058 | SONEBELTE |
| SONEBELTE har bare 10000 meter. Bruk bare STORE til bokstaver | MQ670058 | MQ670058 | SONEBELTE har bare 10000 meter. Bruk bare STORE til bokstaver |
| SONEBELTE | MQ670058 | MQ670058 | SONEBELTE |
| SONEBELTE har bare 10000 meter. Bruk bare STORE til bokstaver | MQ670058 | MQ670058 | SONEBELTE har bare 10000 meter. Bruk bare STORE til bokstaver |
| SONEBELTE | MQ670058 | MQ670058 | SONEBELTE |
| SONEBELTE har bare 10000 meter. Bruk bare STORE til bokstaver | MQ670058 | MQ670058 | SONEBELTE har bare 10000 meter. Bruk bare STORE til bokstaver |
| SONEBELTE | MQ670058 | MQ670058 | SONEBELTE |
| SONEBELTE har bare 10000 meter. Bruk bare STORE til bokstaver | MQ670058 | MQ670058 | SONEBELTE har bare 10000 meter. Bruk bare STORE til bokstaver |
| SONEBELTE | MQ670058 | MQ670058 | SONEBELTE |
| SONEBELTE har bare 10000 meter. Bruk bare STORE til bokstaver | MQ670058 | MQ670058 | SONEBELTE har bare 10000 meter. Bruk bare STORE til bokstaver |
| SONEBELTE | MQ670058 | MQ670058 | SONEBELTE |
| SONEBELTE har bare 10000 meter. Bruk bare STORE til bokstaver | MQ670058 | MQ670058 | SONEBELTE har bare 10000 meter. Bruk bare STORE til bokstaver |
| SONEBELTE | MQ670058 | MQ670058 | SONEBELTE |
| SONEBELTE har bare 10000 meter. Bruk bare STORE til bokstaver | MQ670058 | MQ670058 | SONEBELTE har bare 10000 meter. Bruk bare STORE til bokstaver |
| SONEBELTE | MQ670058 | MQ670058 | SONEBELTE |
| SONEBELTE har bare 10000 meter. Bruk bare STORE til bokstaver | MQ670058 | MQ670058 | SONEBELTE har bare 10000 meter. Bruk bare STORE til bokstaver |
| SONEBELTE | MQ670058 | MQ670058 | SONEBELTE |
| SONEBELTE har bare 10000 meter. Bruk bare STORE til bokstaver | MQ670058 | MQ670058 | SONEBELTE har bare 10000 meter. Bruk bare STORE til bokstaver |
| SONEBELTE | MQ670058 | MQ670058 | SONEBELTE |
| SONEBELTE har bare 10000 meter. Bruk bare STORE til bokstaver | MQ670058 | MQ670058 | SONEBELTE har bare 10000 meter. Bruk bare STORE til bokstaver |
| SONEBELTE | MQ670058 | MQ670058 | SONEBELTE |
| SONEBELTE har bare 10000 meter. Bruk bare STORE til bokstaver | MQ670058 | MQ670058 | SONEBELTE har bare 10000 meter. Bruk bare STORE til bokstaver |
| SONEBELTE | MQ670058 | MQ670058 | SONEBELTE |
| SONEBELTE har bare 10000 meter. Bruk bare STORE til bokstaver | MQ670058 | MQ670058 | SONEBELTE har bare 10000 meter. Bruk bare STORE til bokstaver |
| SONEBELTE | MQ670058 | MQ670058 | SONEBELTE |
| SONEBELTE har bare 10000 meter. Bruk bare STORE til bokstaver | MQ670058 | MQ670058 | SONEBELTE har bare 10000 meter. Bruk bare STORE til bokstaver |
| SONEBELTE | MQ670058 | MQ670058 | SONEBELTE |
| SONEBELTE har bare 10000 meter. Bruk bare STORE til bokstaver | MQ670058 | MQ670058 | SONEBELTE har bare 10000 meter. Bruk bare STORE til bokstaver |
| SONEBELTE | MQ670058 | MQ670058 | SONEBELTE |
| SONEBELTE har bare 10000 meter. Bruk bare STORE til bokstaver | MQ670058 | MQ670058 | SONEBELTE har bare 10000 meter. Bruk bare STORE til bokstaver |
| SONEBELTE | MQ670058 | MQ670058 | SONEBELTE |
| SONEBELTE har bare 10000 meter. Bruk bare STORE til | | | |